## 

УДК 621.891

## ОПРЕДЕЛЕНИЕ ТЕМПЕРАТУРЫ НАГРЕВА СМАЗОЧНОГО СЛОЯ ПРИ ТРЕНИИ

© 2022 г. А. Ю. Албагачиев<sup>1</sup>, А. Н. Михеев<sup>1</sup>, М. А. Тананов<sup>1</sup>, А. Б. Тохметова<sup>1,\*</sup>

<sup>1</sup>Институт машиноведения им. А.А. Благонравова РАН, Москва, Россия \*e-mail: aygerim.tokhmetova@mail.ru

Поступила в редакцию 04.02.2022 г. После доработки 15.05.2022 г. Принята к публикации 21.06.2022 г.

В статье рассмотрены экспериментальные и теоретические исследования температуры нагрева смазочного слоя между трущимися поверхностями. Экспериментальное исследование определения температуры смазочного слоя выполнялось на универсальной машине трения УМТ-1.

Ключевые слова: моторное масло, температура смазочного слоя, коэффициент трения

**DOI:** 10.31857/S0235711922050029

Проблема повышения надежности и долговечности узлов трения в машинах всегда была серьезной проблемой в современной инженерии [1–6]. При трении 85–90% механической энергии превращается в теплоту [7–9]. Главным фактором для оценки работоспособности узлов трения является температурное состояние фрикционного контакта. Теплота, генерируемая в зоне контакта, распределяется между сопряженными телами и окружающей средой [10]. Целью исследования является определение температуры нагрева зоны контакта твердых тел при трении.

Материалы и методы. Трибологические испытания проводились на универсальной машине трения УМТ-1 (рис. 1) [11]. Объектом исследования является моторное масло Mobil Ultra 10W-40. В качестве образцов в виде колец с наружным диаметром 28 мм, внутренним диаметром 20 мм, высотой 15 мм (рис. 2) использовались латунь и нержавеющая сталь 12X18H10T.

В торце неподвижного образца были просверлены два отверстия диаметром 2 мм для датчиков температуры и давления. Нормальная сила, приложенная к неподвижному образцу, составляла 200—500 Н. Полость, между образцами, была заполнена смазкой.

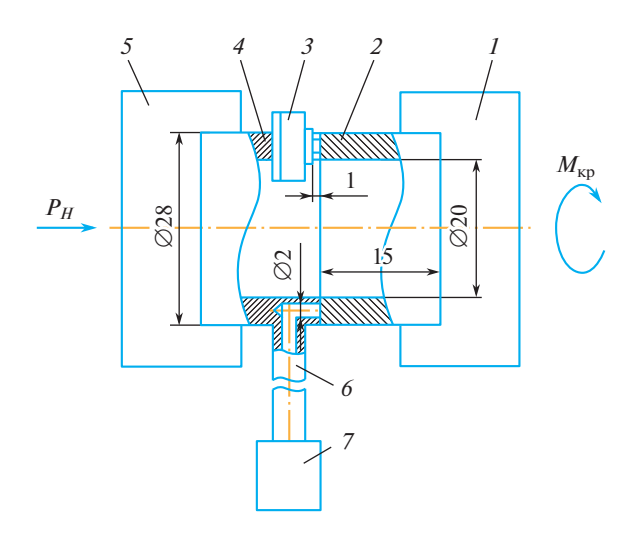
Регистрация и обработка экспериментальных данных проводилась с использованием измерительной системы, состоящей из датчика температуры, датчика частоты вращения шпинделя и микроконтроллера, данные которых отражались в персональном компьютере (ПЭВМ) (рис. 3).

Вычисления действительного значения температуры проводили при помощи микроконтроллера с использованием данных от инфракрасного датчика, датчика температуры корпуса измерителя и тарировочных таблиц, записанных в постоянной памяти (ПЗУ). Значения температуры и частоты вращения с метками времени передаются на компьютер, где обрабатываются программой составленной в среде LabView.

Для измерения температуры слоя смазки, независимо от температур образцов, применен инфракрасный бесконтактный измеритель температуры на основе датчика



Рис. 1. Универсальная машина трения УМТ-1.



**Рис. 2.** Схема расположения образцов и датчиков: I — вращающийся патрон УМТ; 2 — вращающийся образец, нержавеющая сталь; 3 — инфракрасный датчик температуры MLX90614; 4 — неподвижный образец, латунь; 5 — неподвижный патрон УМТ; 6 — трубка для измерения давления смазки; 7 — датчик давления смазки.

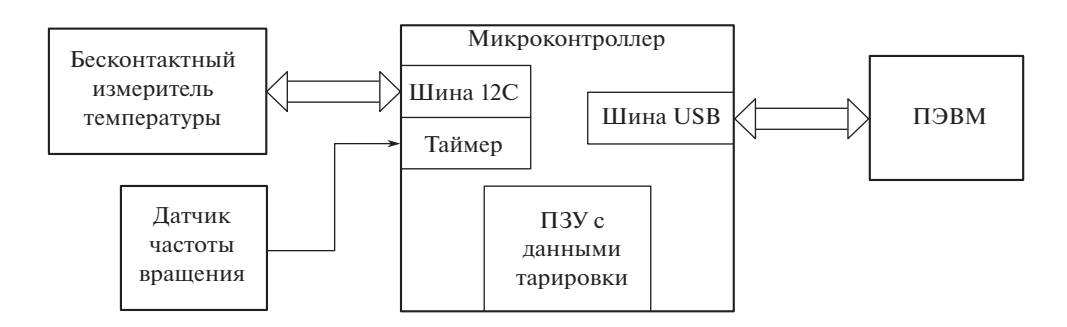
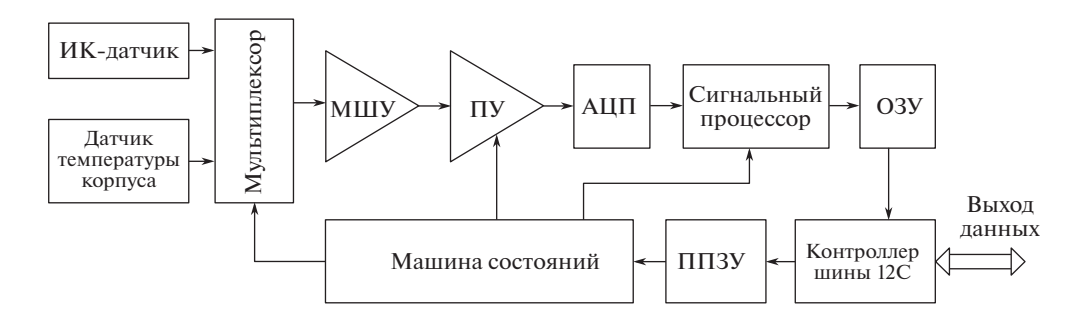


Рис. 3. Система сбора данных.



**Рис. 4.** Блок-схема измерителя температуры: МШУ — малошумящий усилитель; ПУ — усилитель с программируемым коэффициентом усиления; АЦП — аналого-цифровой преобразователь; ППЗУ — перепрограммируемое постоянное запоминающее устройство; ОЗУ — оперативное запоминающее устройство.

MLX90614 с оптической системой. Блок-схема измерителя температуры приведена на рис. 4.

Бесконтактный измеритель температуры содержит два датчика: инфракрасный датчик теплового излучения (полупроводниковый болометр) и датчик температуры корпуса (терморезистор).

Работа измерителя контролируется внутренней машиной состояния реализованной по принципу конечного автомата, которая управляет процессом измерения и расчетами температуры объекта и корпуса, а также выполняет постобработку температур для вывода их через цифровой интерфейс I2C. Выходной сигнал ИК-датчика усиливается малошумящим усилителем и усилителем с программируемым коэффициентом усиления, преобразуется в сигма-дельта аналого-цифровым преобразователем и подается на сигнальный процессор для дальнейшей обработки. Сигнал обрабатывается программируемыми фильтрами нижних и верхних частот для дальнейшего уменьшения ширины полосы входного сигнала для достижения минимального уровня шума и заданной частоты обновления. На основании результатов измерений рассчитываются соответствующая температура корпуса прибора и температура объекта.

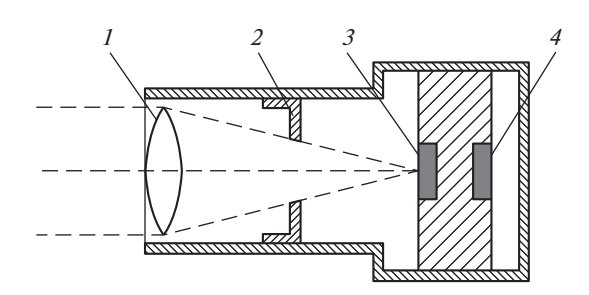
Оптическая система измерителя температуры показана на рис. 5 и состоит из линзы 1, фокусирующей тепловое излучение на инфракрасном датчике 3, и диафрагмы 2, формирующей диаграмму направленности. На одном основании с инфракрасным датчиком размещен датчик температуры корпуса 4.

Испытание смазочного материала проводилось при нагрузках 200 и 500 H, с частотой вращения 100, 500, 1000 об/мин. Показания считывались и записывались в память с периодом 0.01 с.

Для каждого режима длительность испытания составляла 5 минут. Измерения проводились в интервале 1 мин в конце испытания (табл. 1). Частота вращения образца n составляла 100, 500, 1000 об/мин.

Коэффициент трения определялся по измеренному моменту трения и приложенной нагрузке. Силу трения рассчитывали по среднему диаметру образца 24 мм. Таким образом, коэффициент трения равен:  $k=\frac{M\times2\times1000}{24N}$ , где M- момент трения,  ${\rm H\cdot m}$ ; N- нагрузка,  ${\rm H.}$  Площадь кольцевого образца A с наружным диаметром 28 мм и внутренним диаметром 20 мм составляет  $3\times10^{-4}\,{\rm m}^3$ 

Теплофизические свойства неподвижного образца, изготовленного из латуни ЛС-59 составляют [12]: теплопроводность  $\lambda_1=22.68~\frac{B_T}{\text{м}~^{\circ}\text{C}},$  произведение теплоемкости и



**Рис. 5.** Оптическая система измерителя температуры. Обозначения на рисунке: 1 – линза; 2 – диафрагма; 3 – инфракрасный датчик; 4 – датчик температуры корпуса.

плотности  $c_{\rm l}\rho_{\rm l}=4.536\times 10^6~\frac{\rm Дж}{\rm M}^3~{\rm °C}$ , вращающегося образца изготовленного из корро-

зионно-стойкой стали 12X18H10T: 
$$\lambda_2 = 126.84 \frac{\mathrm{Br}}{\mathrm{M} \, {}^{\circ}\mathrm{C}}, c_2 \rho_2 = 4.074 \times 10^6 \frac{\mathrm{Дж}}{\mathrm{M}^3 \, {}^{\circ}\mathrm{C}}.$$

Для вычисления температуры нагрева смазочного слоя выведена формула

$$\theta = \frac{fNV\sqrt{t}}{1.73A\left(\sqrt{\lambda_1 C_1 \rho_1} + \sqrt{\lambda_2 C_2 \rho_2}\right)},\tag{1}$$

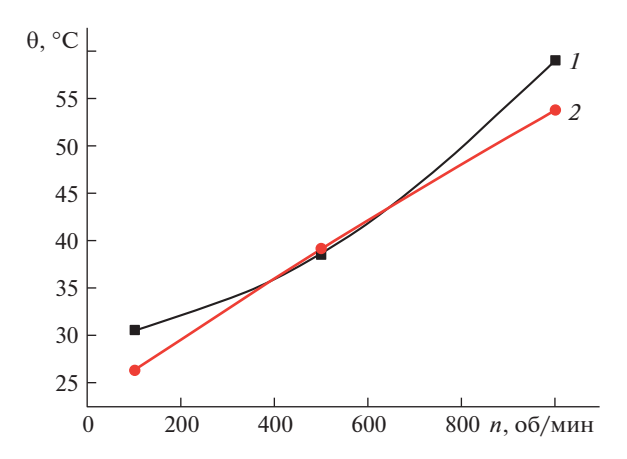
где  $\theta$  — температура, °C; f — коэффициент трения; N — нормальная нагрузка, H; V — линейная скорость вращающегося образца, м/c; t — время, c.

Тоблино 1	Экспериментальные	понны измерения	TAMBADOTUDII CMO	оппото стоя
таолина г.	Экспериментальные	ланные измерения	гтемпературы сма:	очного слоя

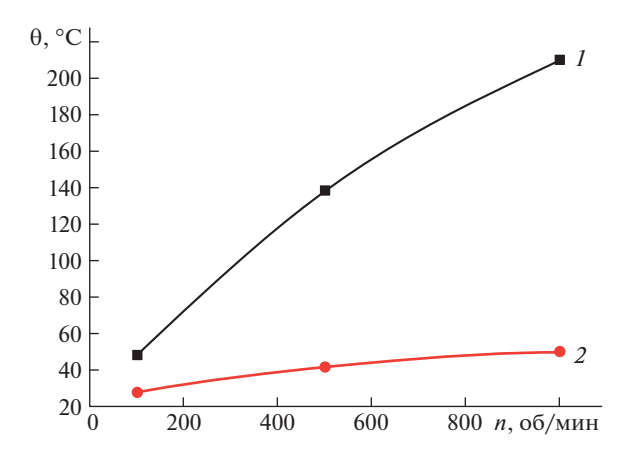
1. Skenephmentanbible damble homepenin teminepartyph emaso more enough							
№	Нагрузка, Н	Частота вращения, об/мин	Момент трения по динамометру, Н · м	Температура по ИК-датчику, °С			
1	200	100	0.60	30.5			
2	200	500	0.36	38.6			
3	200	1000	0.32	59.0			
4	500	100	0.73	48.0			
5	500	500	0.41	138.0			
6	500	1000	0.28	210.0			

Таблица 2. Расчетные данные изменения температуры смазочного слоя

№	Нагрузка, Н	Частота вращения, об/мин	Линейная скорость вращающейся поверхности, м/с	Коэффициент трения	Температура смазочного слоя с учетом комнатной температуры, °C
1	200	100	0.125	0.250	26.345
2	200	500	0.628	0.150	39.125
3	200	1000	1.250	0.133	53.754
4	500	100	0.125	0.122	27.741
5	500	500	0.628	0.068	41.675
6	500	1000	1.250	0.047	49.820



**Рис. 6.** Зависимость температуры смазочного слоя от частоты вращения при постоянной нагрузке 200 H: I – экспериментальные исследования; 2 – теоретические исследования.



**Рис. 7.** Зависимость температуры смазочного слоя от частоты вращения при постоянной нагрузке 500 H: I – экспериментальные исследования; 2 – теоретические исследования.

В табл. 2 показано изменение температуры смазочного слоя между сопряженными поверхностями в зависимости от коэффициента трения и теплофизических свойств металлов при линейной скорости вращения (0.125; 0.628 и 1.25 м/с).

По результатам исследования (рис. 6, 7) с увеличением частоты вращения от 100 до 1000 об/мин температура смазочного слоя возрастает от 30 до  $210^{\circ}$ С (является закономерным).

Как видно из полученных данных (рис. 7), при нагрузке 500 H экспериментальные значения сильно отличаются от теоретических.

Корреляция экспериментальных и расчетных данных наблюдается при нормальной нагрузке 200 Н и нарушается при нагрузке 500 Н. Из этого следует, что данная формула применима для расчета при нагрузке 200 Н, а при нагрузке 500 Н она нуждается в дальнейшей корректировке, связанной с учетом температуры смазочного слоя во вре-

мени и распределением тепловых потоков между смазкой и металлическими образцами.

**Выводы.** Из анализа экспериментальных данных следует, что температура нагрева смазочного слоя между трущимися поверхностями увеличивается с ростом нормальной нагрузки и частоты вращения образца. Предложен аналитический метод расчета температуры смазочного слоя между трущимися поверхностями. В результате сравнения теоретических и экспериментальных данных температуры нагрева смазочного слоя установлено их соответствие при нагрузке 200 Н.

## КОНФЛИКТ ИНТЕРЕСОВ

Авторы заявляют, что у них нет конфликта интересов.

## СПИСОК ЛИТЕРАТУРЫ

- 1. Трение, изнашивание и смазка: Справочник / Под общ. ред. И.В. Крагельского, В.В. Алисина. В 2 т. Т. 1. М.: Машиностроение, 1978.
- 2. *Чичинадзе А.В.* Трение, износ и смазка (трибология и триботехника). М.: Машиностроение, 2003. 576 с.
- 3. Persson B.N.J., Tosatti E. Physics of Sliding friction. Kluwer, Dordrecht 1996, 460 p.
- 4. *Чичинадзе А.В.*, *Берлинер Э.М.*, *Браун Э.Д.* Трение, износ и смазка. Трибология и триботехника / Под ред. А.В. Чичинадзе. М.: Машиностроение, 2003. 576 с.
- 5. Bowden F.P., Tabor D. The Friction and Lubrication of Solids. Oxford: Clarendon Press, 2001.
- 6. Persson B.N.J. Sliding Friction. Physical Principles and Applications. Springer, 2002.
- 7. Rabinowicz E. Friction and wear of materials. 2nd ed. John Wiley & Sons, inc., 1995. 315 p.
- 8. Мышкин Н.К., Петроковец М.И. Трение, износ, смазка. Физические основы и технические приложения трибологии. М.: ФИЗМАТЛИТ, 2007. 368 с.
- 9. *Попов В.А.*, *Попов В.Л.* Механика контактного взаимодействия и физика трения: от нанотрибологии до динамики землетрясений. М.: ФИЗМАТЛИТ, 2013. 350 с.
- 10. *Резников А.Н.* Тепловые процессы в технологических системах. М.: Машиностроение, 1990. 288 с.
- 11. Справочник по триботехнике / Под общ. ред. М. Хедбы, А.В. Чичинадзе. В 3 т. Т. 1. Теоретическиеосновы. М.: Машиностроение, 1989.
- 12. Albagachiev A. Yu., Novikova N.N., Tokhmetova A.B. Tribotechnical Characteristics of Nanomodifier 1 // J. of Machinery Manufacture and Reliability. 2020. V. 49 (5). P. 457.